УЛК 621.793.18

# СТРУКТУРА, МЕХАНИЧЕСКИЕ СВОЙСТВА, ТЕРМИЧЕСКАЯ СТАБИЛЬНОСТЬ И ХИМИЧЕСКАЯ УСТОЙЧИВОСТЬ МЕТАСТАБИЛЬНОГО ТВЕРДОГО РАСТВОРА ${\rm Ti}_{1-x}{\rm Al}_x{\rm N}$ (x=0.03-0.05), СФОРМИРОВАННОГО В ВИДЕ arc-PVD-ПОКРЫТИЯ НА СПЛАВАХ ВК

© 2022 г. И. В. Блинков<sup>1, \*</sup>, В. С. Сергевнин<sup>1</sup>, А. В. Черногор<sup>1</sup>, Д. С. Белов<sup>1</sup>, А. П. Демиров<sup>1</sup>, Ф. В. Кирюханцев-Корнеев<sup>1</sup>

<sup>1</sup>Национальный исследовательский технологический университет "МИСиС", Ленинский пр., 4, Москва, 119049 Россия

\*e-mail: biv@misis.ru

Поступила в редакцию 23.05.2022 г. После доработки 28.06.2022 г. Принята к публикации 05.07.2022 г.

Проведены сравнительные исследования химической и термической устойчивости, а также механических свойств arc-PVD-покрытий TiN и Ti $_{0.97}$ Al $_{0.03}$ N. При нагреве покрытий в вакууме до 600 и  $700^{\circ}$ С происходят рост размеров OKP, уменьшение значений двухосных макронапряжений, периодов решетки, микродеформаций, что определяется термически активируемыми процессами восстановления структуры, обусловленного аннигиляцией дефектов, возникающих при формировании покрытий. В покрытии  $Ti_{0.97}$ Al $_{0.03}$ N релаксация напряжений осуществляется более интенсивно, что связано с большей плотностью дефектов. При  $700^{\circ}$ С происходит спинодальный распад твердого раствора  $Ti_{0.97}$ Al $_{0.03}$ N на TiN и AlN (ГЦК). В отличие от покрытия TiN твердость, параметры  $H^3/E^2$  и H/E  $Ti_{0.97}$ Al $_{0.03}$ N с ростом температуры отжига до  $700^{\circ}$ С практически не изменяются, что определяется дисперсионным упрочнением в результате спинодального распада. В кислотной и щелочной средах поведение покрытий однотипно, при этом  $Ti_{0.97}$ Al $_{0.03}$ N проявляет несколько бо́льшую стой-кость к окислению на воздухе при  $550^{\circ}$ С.

**Ключевые слова:** нитриды, твердость, термическая стабильность, спинодальный распад, *arc*-PVD **DOI:** 10.31857/S0002337X22100037

#### **ВВЕДЕНИЕ**

В равновесных условиях растворимость AlN в TiN в твердом состоянии крайне ограничена и составляет менее 2 ат. % при  $1000^{\circ}$ C [1]. Авторам [2—4] удалось в виде покрытий получить однофазные ГЦК-нитриды  $Ti_{1-x}Al_xN$  с  $x\sim0.4$  и x<0.6-0.7 соответственно магнетронным распылением и вакуумно-дуговым испарением при температурах подложки 500 и  $400-500^{\circ}$ C.

Покрытия Ti—Al—N обладают стойкостью к окислению вплоть до 750—800°С против 500—550°С, характерных для  $\mathrm{TiN}_x$ . В результате окисления на поверхности образуется плотный адгезионный слой  $\mathrm{Al}_2\mathrm{O}_3$ , который защищает покрытия от дальнейшего окисления. При этом покрытия  $\mathrm{Ti}$ —Al—N характеризуются высокой твердостью — до 37 ГПа, которая сохраняется при температурах отжига до 950°С, что указывает на их повышенную стабильность по сравнению с покрытиями  $\mathrm{Ti}$ —N и  $\mathrm{Ti}(\mathrm{C},\mathrm{N})$  [5, 6].

Свойства покрытий TiAlN зависят от их химического состава, условий осаждения, в частности, отрицательного потенциала смещения, подаваемого на подложку [4, 7]. Исследование свойств покрытий  ${\rm Ti}_{1-x}{\rm Al}_x{\rm N}$  показало перспективность их использования для самых различных функциональных назначений, в том числе и для упрочнения режущего инструмента [8, 9].

Наиболее широко используются покрытия этой системы с содержанием A1 от 20 до 60—70 ат. %, поскольку твердость возрастает с ростом концентрации этого компонента. При этом эксплуатационные возможности данных покрытий ограничены из-за высокой склонности к хрупкому разрушению, что ограничивает применение режущего инструмента на операциях прерывистого резания [10—12].

В работах [13, 14] исследованы возможности упрочнения твердосплавного режущего инструмента покрытиями Ti—Al—N с содержанием алюминия 3—5 ат. %. Увеличение вязкости таких покрытий по сравнению с покрытиями, содержащи-

ми от 20 и выше ат. % алюминия, при некотором снижении твердости расширяет область использования режущего инструмента на операции как непрерывного (точение), так и прерывистого резания (фрезерование, строгание). Данный вывод был подтвержден стойкостными испытаниями твердосплавного режущего инструмента WC—Co (6 мас. %), упрочненного покрытием Ti—Al—N с содержанием алюминия ~3 ат. %, при фрезеровании сплава ЭИ 698-ВД, при точении стали 45 и серого чугуна.

В настоящей работе продолжено изучение функциональных возможностей покрытия Ti-Al-N с содержанием алюминия  $\sim 3$  ат. %, их термической и химической устойчивости в сравнении с покрытиями TiN.

## ЭКСПЕРИМЕНТАЛЬНАЯ ЧАСТЬ

Для нанесения покрытий  $Ti_{0.97}Al_{0.03}N$  и TiNприменяли установку ионно-плазменного вакуумно-дугового напыления с тремя испаряемыми катодами, оснащенную сепараторами капельной фазы, аналогичную используемой в работе [15] за исключением того, что в данном исследовании для осаждения покрытий использовались соответственно катоды из сплава Ti-Al (6 ат. %) и из титана (ВТ1). В качестве реакционного газа применялся азот марки ВЧ6.0. Парциальное давление азота  $(p_{N_2})$  поддерживалось на уровне 0.5 Па. Время осаждения составляло 60 мин, толщина покрытий -4-4.5 мкм. В качестве подложек были использованы твердосплавные пластины ВК6 и ВК8. Потенциал смещения ( $U_s$ ) на подложке был  $-120 \, \mathrm{B}$  при токе дуги, испаряющей материал катода, ~120 А.

Морфологию и состав покрытий изучали с применением растрового электронного микроскопа JSM-7600F с приставкой для энергодисперсионной спектрометрии JED-2300F (JEOL, Япония). Для определения фазового состава покрытия использовали дифрактометр Ultima 4 (Rigaku, Япония): излучение  $CoK_{\alpha}$ , графитовый монохроматор на дифрагированном пучке в асимметричной геометрии (угол между падающим лучом и поверхностью образца составлял  $\alpha = 5^{\circ}$ ). Количественный фазовый анализ выполнялся с использованием метода Ритвельда. Для определения размера областей когерентного рассеяния (OKP) (D)по методу Селякова—Шеррера [16] ( $D = K\lambda/\beta\cos\theta$ , где K — коэффициент формы частиц (K = 0.9 для сферических частиц),  $\lambda$  — длина волны рентгеновского излучения,  $\beta$  — ширина рефлекса на полувысоте (в радианах и в единицах  $2\theta$ ),  $\theta$  — угол дифракции (брэгговский угол)), величины микродеформаций решетки (ε), параметров решетки TiN и  $Ti_{0.97}Al_{0.03}N$  выполнялась съемка отражений 111 и 222 в симметричной геометрии.

Выделение физического уширения проводилось совместной аппроксимацией двух порядков отражений эталона и образца псевдофункциями Фойгта. В качестве эталона использовался порошок мелкозернистого германия (10—20 мкм).

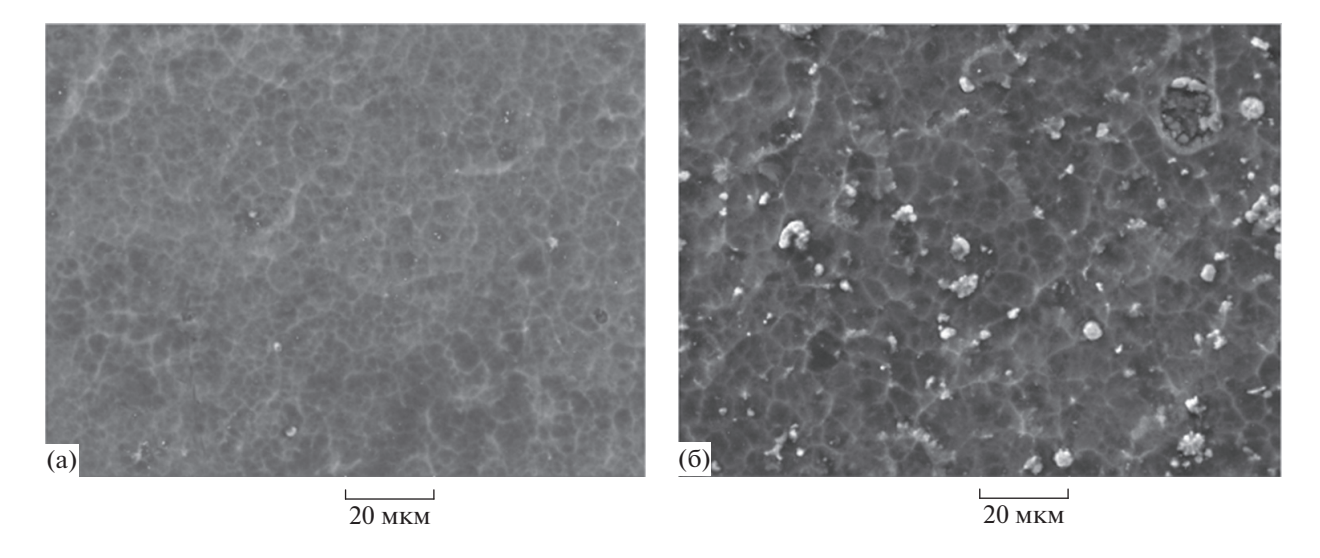
Химический состав и энергия связи элементов фаз покрытия были исследованы на рентгеновском фотоэлектронном спектрометре (РФЭС) РНІ 5500 ESCA (Perkin-Elmer, США). Для проведения структурных исследований покрытий применялся просвечивающий электронный микроскоп (ПЭМ) JEM 2100 высокого разрешения (JEOL, Япония).

Твердость (H), модуль упругости (E), относительную работу пластической ( $W_p$ ) и упругой деформации ( $W_e$ ) покрытий определяли методом измерительного индентирования при малых нагрузках (Оливера и Фарра), который осуществляли на микроиндентометре MicroHardnessTester (CSM Instruments, Швейцария). Индентирование проводили в динамическом режиме при постоянно возрастающей нагрузке с шагом 10 мН до максимального значения 200 мН. Результаты измерения, представленные в виде графических зависимостей твердости-модуль упругости от глубины проникновения индентора, давали возможность определить значения физико-механических характеристик на глубине проникновения индентора, соответствующей порядка 10% от толщины покрытия согласно требованиям стандарта [17].

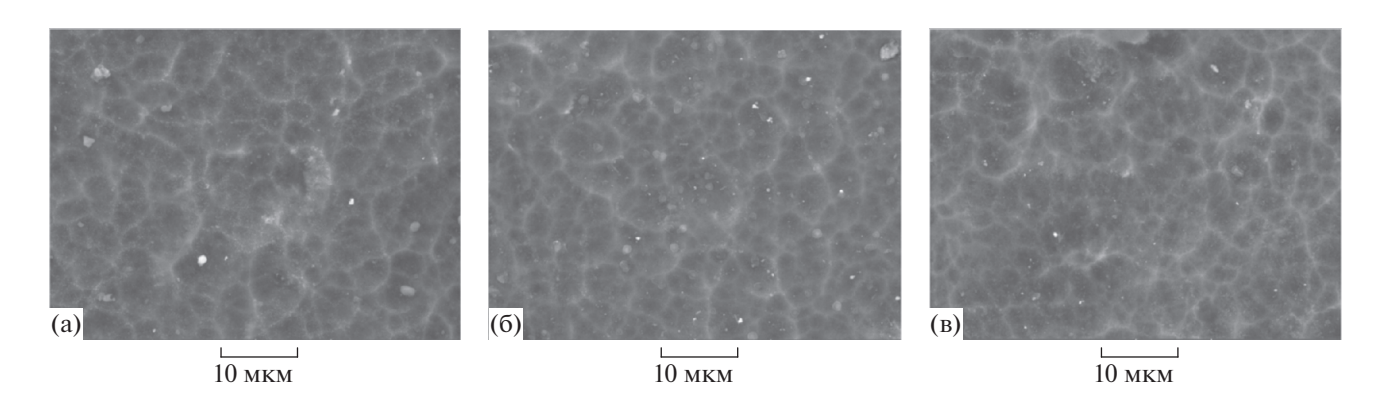
Для определения термической стабильности покрытий проводился отжиг в вакууме ( $5 \times 10^{-3}$  Па) в алундовых тиглях при температурах 400, 500, 600°C для TiN и 500, 600, 700°C для Ti $_{0.97}$ Al $_{0.03}$ N в течение 1 ч с последующим анализом морфологии, фазового состава и характеристик структуры.

Для изучения распределения элементного состава покрытий по толщине слоя после проведения окислительного отжига при анализе жаростойкости использовали метод высокочастотной оптической эмиссионной спектроскопии тлеющего разряда (GDOES/BOЭCTP) [18]. Исследования проводили на приборе Profiler 2 (HoribaJobinYvon, Франция). Разрешение по концентрации химических элементов, содержащихся в покрытии, составляло 0.01 ат. %, разрешение по глубине исследуемого слоя не менее 20 нм.

Испытания на стойкость покрытий TiN и Ti<sub>0.97</sub>Al<sub>0.03</sub>N в кислотной и щелочной средах были осуществлены с помощью измерения потенциала динамической поляризации по ГОСТ 9.914—91 со скоростью развертки потенциала 0.2 мВ/с при 25°С. Анодные поляризационные кривые снимались после достижения стационарных потенциалов образцов. Электрохимическое поведение покрытий исследовалось с использованием потенциостата IPC-ProMF



**Рис. 1.** РЭМ-изображения покрытий TiN (а) и  $Ti_{0.97}Al_{0.03}N$  (б) на подложках из твердых сплавов.



**Рис. 2.** Морфология поверхности покрытия TiN после отжига при t = 400 (a), 500 (б),  $600^{\circ}$ С (в).

Поскольку возможное применение данных покрытий связано с упрочнением режущего инструмента, эксплуатация которого в ряде случаев предусматривает применение смазочно-охлаждающих жидкостей, обладающих различным рН (2.5-10), в качестве коррозионно-активной среды использовали растворы следующих составов:  $I-100 \text{ см}^3$   $(20 \text{ г FeCl}_3 \cdot 6\text{H}_2\text{O} + 5\%$ -ная  $H\text{NO}_3) + 19 \text{ г/см}^3$  HCl; II-0.12 г/л NaOH. Раствор I содержит сильные окислители  $(\text{Fe}^{3+}$  и азотную кислоту), оказывающие пассивирующее действие, и активирующие анионы  $\text{Cl}^-$ , необходимые для активации поверхности при изучении склонности покрытий к питтинговой коррозии.

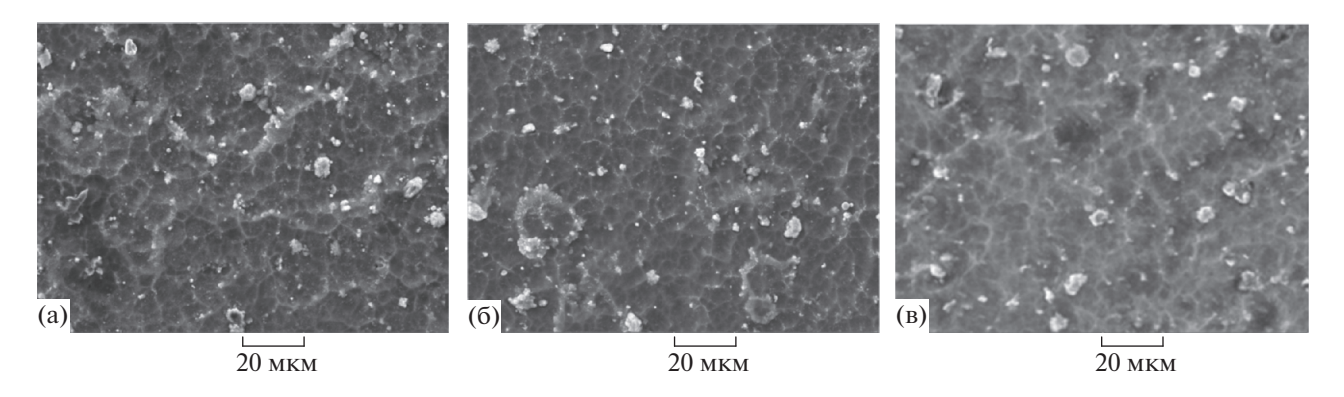
# РЕЗУЛЬТАТЫ И ОБСУЖДЕНИЕ

Изображения поверхности всех полученных образцов сплавов ВК6 и ВК8 с покрытиями TiN и TiAlN представлены на рис. 1. Она имеет "ячеистую" структуру, обычную для *arc*-PVD-покрытий

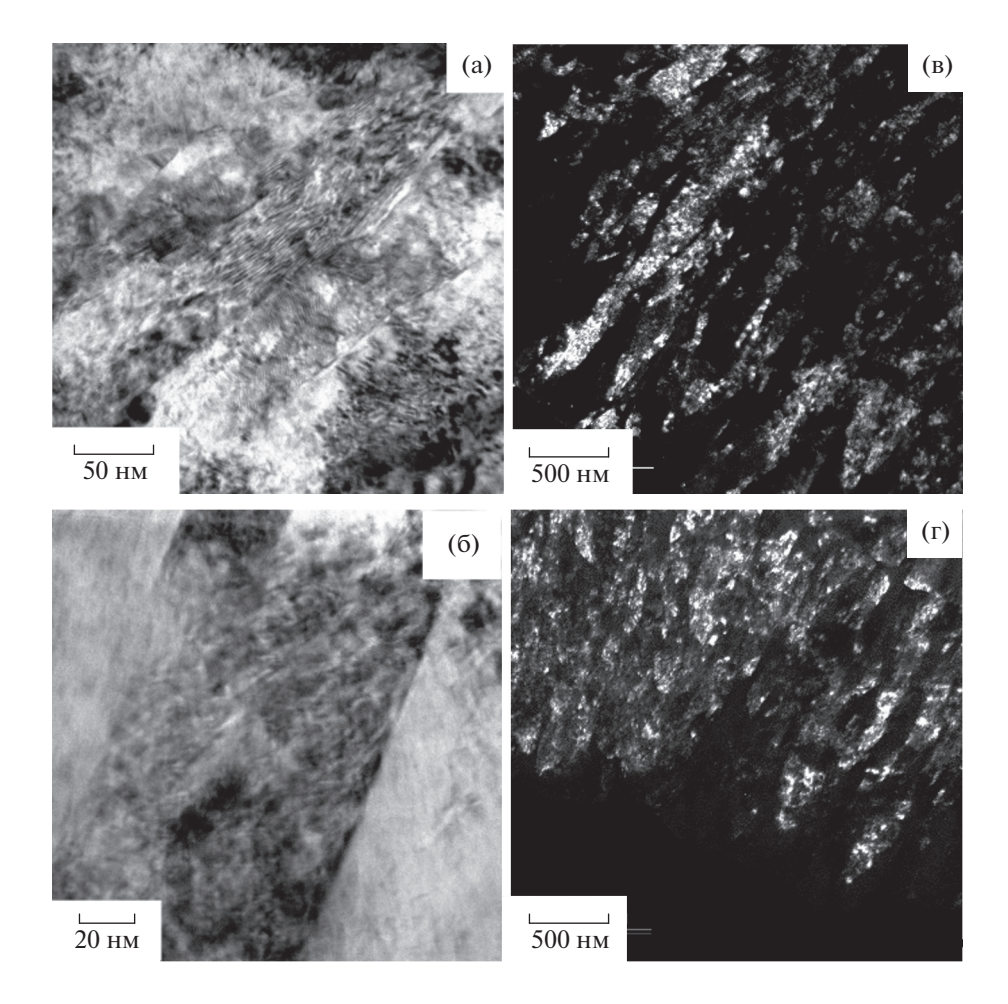
и связанную с повторением ими рельефа поверхности подложки после газоабразивной обработки. Шероховатость покрытий характеризуется значением параметра  $R_a$  порядка 0.1 мкм, на поверхности наблюдается относительно небольшое количество капельной фазы. Морфология покрытий не зависела от материала используемой подложки.

Исследования по термостабильности структуры и состава покрытий показали, что в процессе отжига морфология покрытий не претерпевает существенных изменений (рис. 2, 3).

Микроструктура покрытия TiN до и после термической обработки имеет плотное столбчатое строение (рис. 4) со средним диаметром столбцов до отжига  $\sim$ 70 нм. После отжига при 600°C он увеличился до  $\sim$ 120 нм. В случае покрытия  $\mathrm{Ti_{0.97}Al_{0.03}N}$  средний диаметр столбцов до отжига составлял  $\sim$ 100 нм. После отжига при 700°C в покрытии образуется мелкозернистая структура, состоящая из зерен со средним размером  $\sim$ 40 нм (рис. 5).



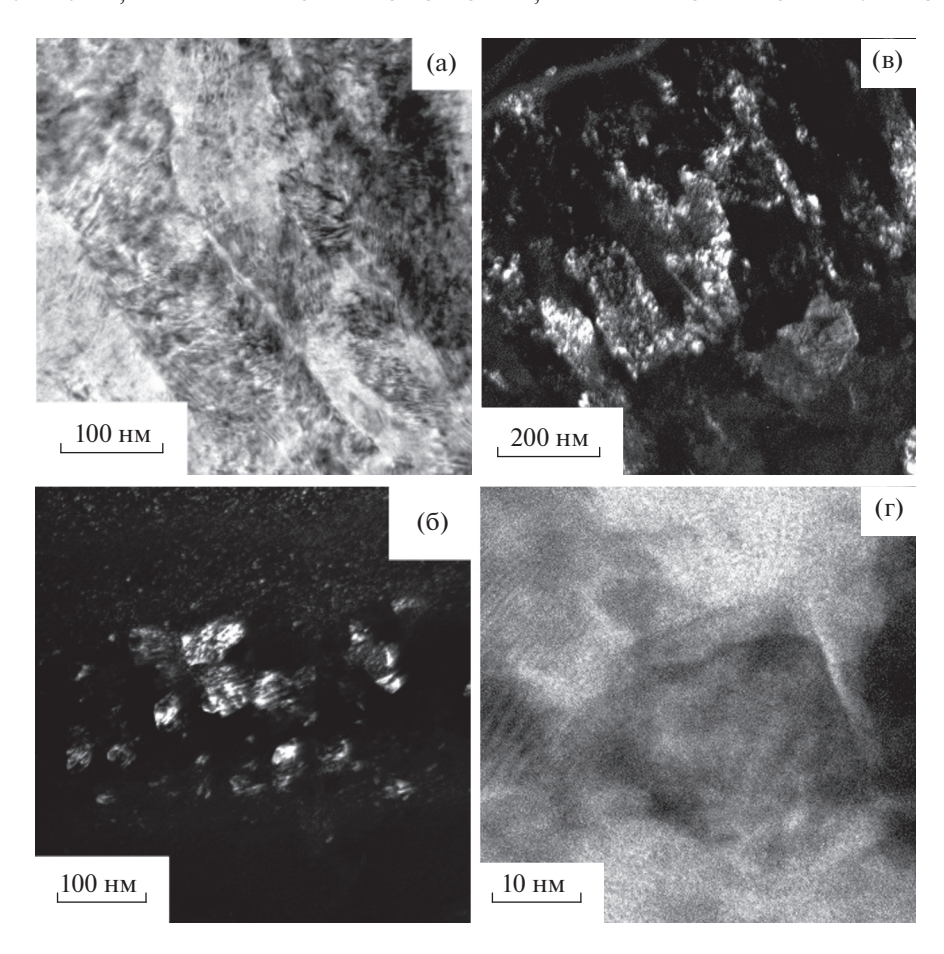
**Рис. 3.** Морфология поверхности покрытия  $Ti_{0.97}Al_{0.03}N$  после отжига t = 500 (a), 600 (б),  $700^{\circ}C$  (в).



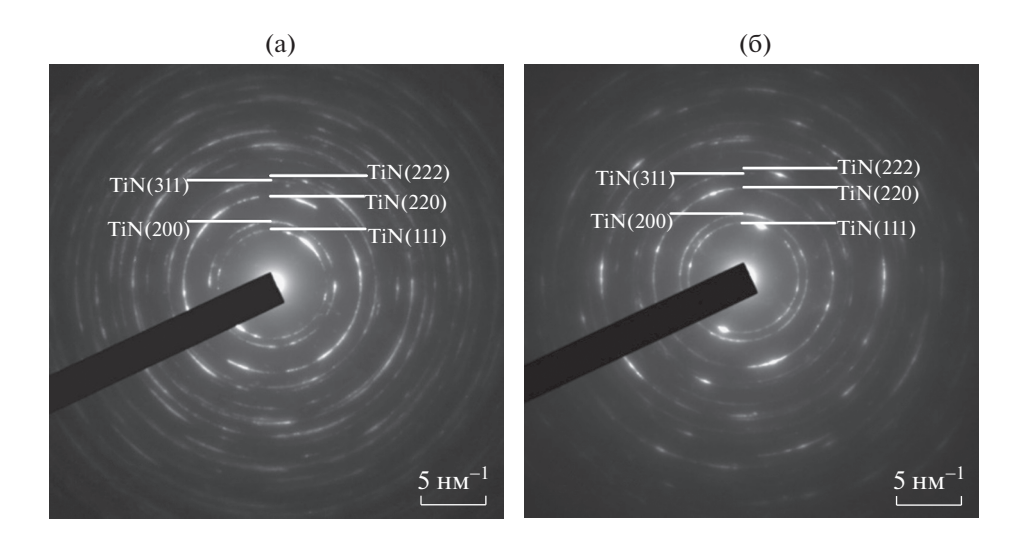
**Рис. 4.** ПЭМ-изображения покрытия TiN до (a, B), после отжига при  $600^{\circ}$ C (b, r).

При анализе электронограмм покрытий TiN и  $Ti_{0.97}Al_{0.03}N$  (рис. 6а, 7а) установлено, что до отжига в их составе присутствует одна фаза — TiN со структурой B1—NaCl. Этот же состав сохраняется в покрытии TiN после отжига при  $600^{\circ}$ C (рис. 6б). При этом наблюдается текстурированность исходных покрытий, выражающаяся в неоднородности интенсивности дифракционных колец и

сохраняющаяся после отжига. После отжига при  $700^{\circ}$ С на электронограммах покрытия  $Ti_{0.97}Al_{0.03}N$  наряду с дифракционными линиями, характерными для фазы TiN (B1), были обнаружены линии, соответствующие AlN с  $\Gamma \coprod K$ -решеткой (рис. 76) [19]. Появление нитрида алюминия свидетельствует о спинодальном распаде метастабильного твердого раствора Ti-Al-N. Этот эф-



**Рис. 5.** ПЭМ-изображения покрытия  $Ti_{0.97}Al_{0.03}N$  до (а, в), после отжига при  $700^{\circ}C$  (б, г).

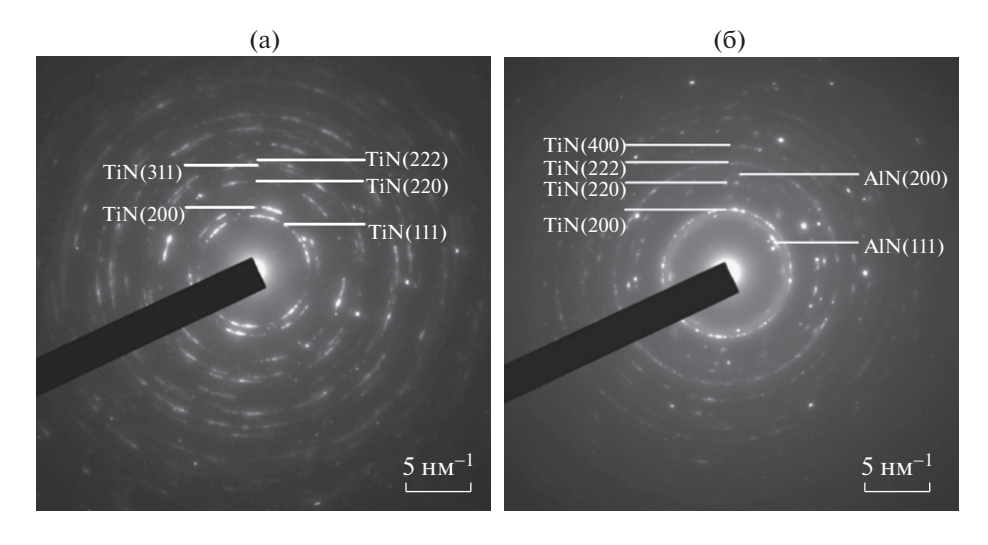


**Рис. 6.** Электронограммы образцов с покрытием TiN до (а) и после (б) отжига при  $600^{\circ}$ C.

фект описан в литературе для покрытий  $Ti_{1-x}Al_xN$  с большим содержанием алюминия [20, 21]. Кроме того, в данном покрытии после отжига, судя по характеру электроннограмм, пропадают признаки

наличия текстуры, присущие как покрытию TiN, так и исходному образцу покрытия TiAlN.

Как следует из исследований характеристик субструктуры, макронапряжений и физикомеха-



**Рис. 7.** Электронограммы образцов с покрытием  $Ti_{0.97}Al_{0.03}N$  до (а) и после (б) отжига при 700°С.

нических свойств покрытий TiN и Ti<sub>0.97</sub>Al<sub>0.03</sub>N (табл. 1, 2), исходные образцы имеют большие значения двухосных сжимающих напряжений ( $\sigma$ ): -2.2и -3.7 ГПа соответственно. Их значения уменьшаются после отжига. По мнению ряда исследователей [22, 23], это уменьшение связано с активируемыми термически процессами пластической деформации и восстановлением структуры, обусловленной аннигиляцией дефектов, возникающих при формировании покрытий и являющихся причиной появления в них структурной составляющей макронапряжений [24, 25]. При этом следует отметить, что в покрытии  $Ti_{0.97}Al_{0.03}N$  релаксация напряжений происходит более интенсивно, т. к. плотность дефектов в нем значительно выше. Об этом можно судить по величинам микродеформаций (є), природа которых определяется концентрационными неоднородностями в объеме кристаллита и наличием дислокаций [26]. О восстановлении структуры покрытий обоих составов свидетельствует также уменьшение периодов их решеток. Одновременно с изменением структурных характеристик происходит изменение твердости покрытий, а также показателей  $H^3/E^2$  и H/E, определяющих их сопротивление пластической и упругой деформациям [27]. Для покрытия TiN их значения уменьшаются, что объясняется процессом восстановления с анигиляцией возникших при осаждении дефектов и рекристаллизацией. Для покрытия  $\text{Ti}_{0.97}\text{Al}_{0.03}\text{N}$  значения твердости практически сохраняются, как и параметров  $H^3/E^2$  и H/E, что определяется дисперсионным упрочнением в результате спинодального распада [20, 28].

Стойкость покрытий к воздействию кислотной и щелочной сред определялась в процессе электрохимических испытаний. Анодные поляризационные кривые, снятые в кислотной среде (рис. 8а), характеризуются наличием активационных пиков. Активационный пик для покрытия TiN наблюдается в пределах потенциала от 0 до 650 мВ, покрытие в пассивном состоянии находится в пределах

**Таблица 1.** Характеристики субструктуры и физико-механические свойства покрытия TiN до и после термической обработки

Температура отжига, °С	До отжига	400	500	600
Размер ОКР ( <i>D</i> ), нм	48 ± 4	54 ± 3	59 ± 2	67 ± 3
Период решетки (a), Å	$4.2478 \pm 0.0013$	$4.2450 \pm 0.0004$	$4.2446 \pm 0.0002$	$4.2441 \pm 0.0009$
Микродеформации (ε), %	$0.15 \pm 0.02$	$0.12 \pm 0.01$	$0.09 \pm 0.01$	$0.07 \pm 0.02$
Макронапряжения (σ), ГПа	-2.2	-2.1	-1.8	-1.6
Твердость (Н), ГПа	$25.1 \pm 1.0$	$24.5 \pm 1.0$	$22.6 \pm 0.9$	$17.7 \pm 0.8$
Модуль Юнга ( $E$ ), ГПа	441 ± 18	423 ± 17	$399 \pm 16$	$345 \pm 14$
$H^3/E^2$ , ГПа	0.08	0.08	0.07	0.05
H/E	0.06	0.06	0.06	0.05

Температура отжига, °С	До отжига	500	600	700
Размер ОКР ( <i>D</i> ), нм	16 ± 2	17 ± 1	19 ± 2	$19.5 \pm 2$
Период решетки $(a)$ , Å	$4.2386 \pm 0.0003$	$4.2366 \pm 0.0002$	$4.2321 \pm 0.0002$	$4.2306 \pm 0.0002$
Микродеформации (ε), %	$0.6 \pm 0.1$	$0.6 \pm 0.1$	$0.4 \pm 0.2$	$0.1 \pm 0.2$
Макронапряжения (σ), ГПа	-3.7	-3.1	-2.5	-2.1
Твердость ( $H$ ), $\Gamma\Pi a$	$29 \pm 1.2$	$30.5 \pm 1.2$	$25.1 \pm 1.0$	$28.3 \pm 1.0$
Модуль Юнга ( $E$ ), ГПа	$454 \pm 18$	$463 \pm 18$	$403 \pm 16$	$480 \pm 19$
$H^3/E^2$ , ΓΠα	0.12	0.13	0.1	0.1
H/E	0.06	0.07	0.06	0.06

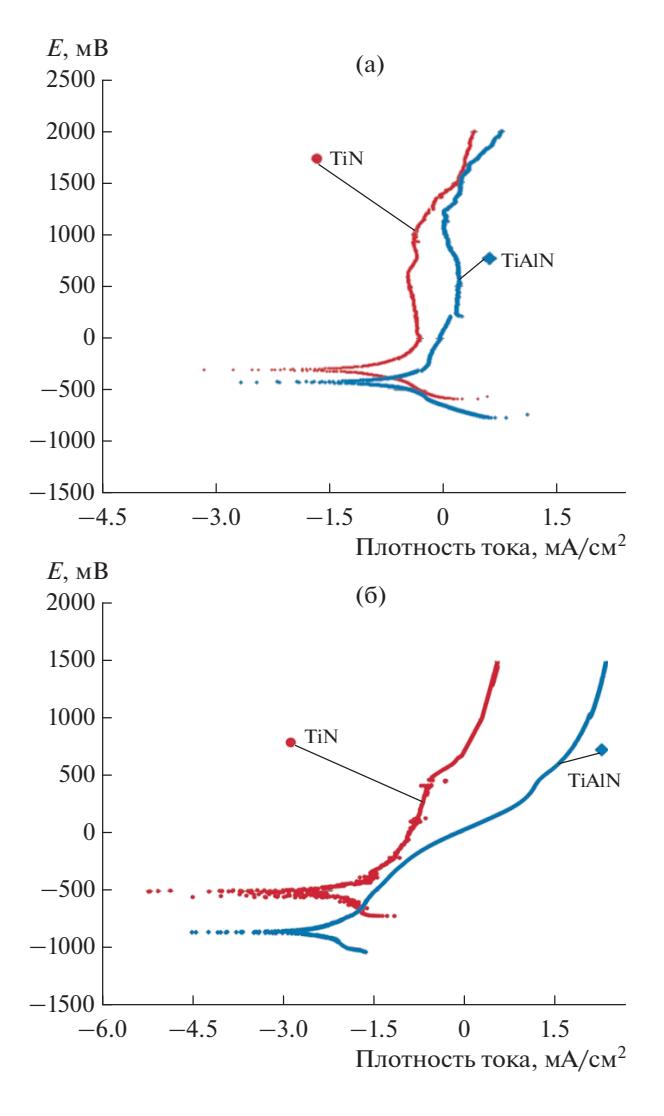
**Таблица 2.** Характеристики субструктуры и физико-механические свойства покрытия  $Ti_{0.97}Al_{0.03}N$  до и после термической обработки

потенциалов от 650 до 1000 мВ, дальнейшее увеличение потенциала приводит к окислению покрытия. Для покрытия Ti<sub>0.97</sub>Al<sub>0.03</sub>N активационный пик находится в пределах от 250 до 1000 мВ. Покрытие в пассивном состоянии нахолится в пределах потенциалов от 1000 до 1250 мВ. Дальнейшее увеличение потенциала приводит к окислению покрытия. Исходя из того, что анодные поляризационные кривые в целом повторяют друг друга, т.е. динамика окисления покрытий сходная, можно сделать вывод, что введение Al в небольших количествах (2-3 ат. %) незначительно влияет на электрохимические характеристики в кислотной среде. Однако добавка Al увеличивает ток коррозии с 80 до 180 мкА/см<sup>2</sup>. Это косвенно свидетельствует о большей подверженности коррозии покрытий TiAlN в кислотной среде по сравнению с покрытиями TiN.

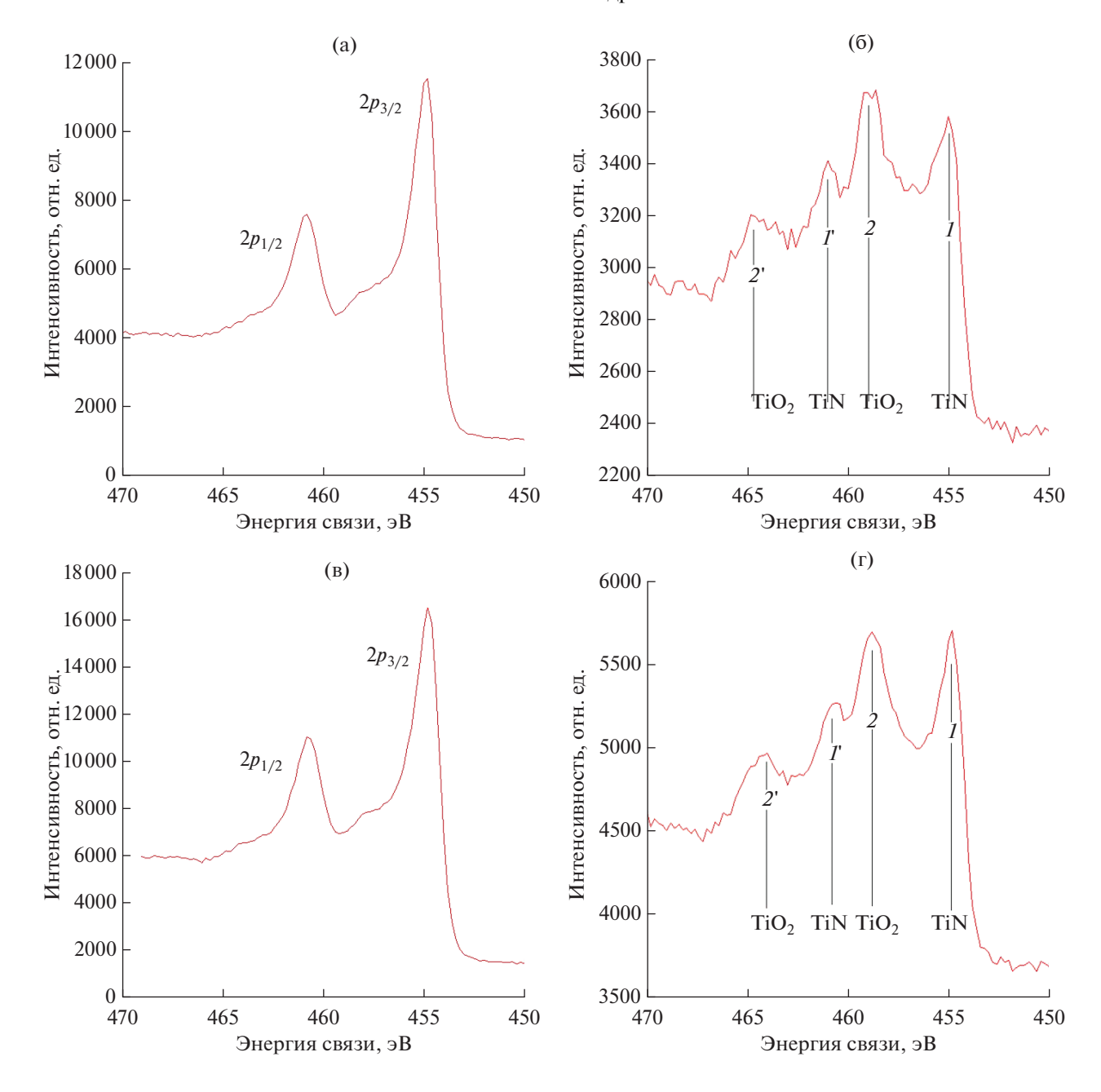
В щелочной среде анодные поляризационные кривые (рис. 86) характеризуются отсутствием активационных пиков. Этот факт говорит о самопассивации исследуемых покрытий. При анализе поляризационных кривых установлено, что при увеличении потенциала от 1000 до 1500 мВ для ТіN и от 800 до 1500 мВ для Ті<sub>0.97</sub>Al<sub>0.03</sub> N плотность тока увеличивается незначительно, токи коррозии для обоих покрытий составляют порядка 3 мкА/см², что говорит об их близкой скорости коррозии в щелочной среде без приложения потенциала. Интенсивного окисления исследуемых покрытий не происходит, оба покрытия обладают стойкостью в щелочной среде.

Элементный состав покрытий, полученный методом РФЭС, свидетельствует о том, что в процессе электрохимических испытаний в кислотной среде покрытия TiN и Ti<sub>0.97</sub>Al<sub>0.03</sub>N разрушаются. В составе поверхностного слоя присутствуют Со и W, находящиеся в составе подложки ВК6. В щелочной среде образцы обоих покрытий характеризуются высокими защитными свойствами. В поверхностных слоях образцов Со и W отсутствуют, т.е. вскрытия покрытий не происходит. Основная часть энергетических спектров фото-

электронов Ti2p (68–73%) в образцах покрытий (Ti,Al)N и TiN, подвергнутых обработке щелочью, локализована на  $E_{cs}$ (Ti2 $p_{3/2}$ ) = 454.8 эВ и отвечает энергии связи титана с азотом (рис. 9а, 9в)



**Рис. 8.** Анодные поляризационные кривые, снятые в кислотной (а) и щелочной (б) средах.

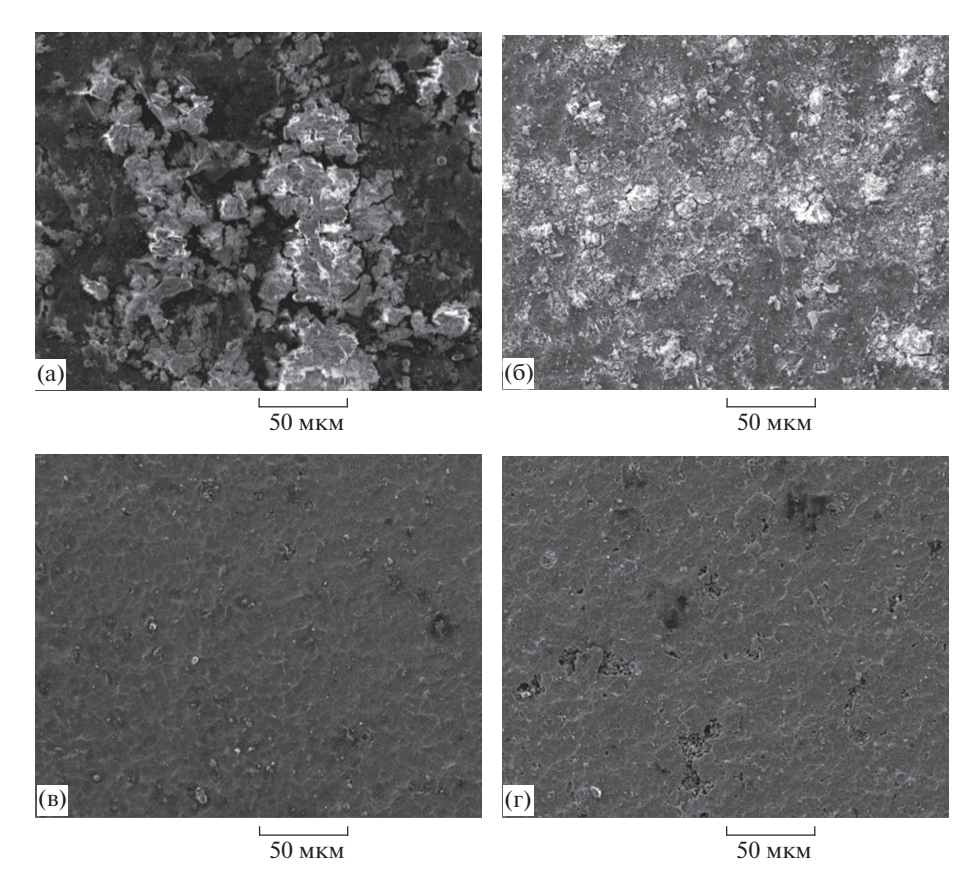


**Рис. 9.** РФЭС Ti2p образцов покрытий  $Ti_{0.97}Al_{0.03}N$  (а, б) и TiN (в, г) после обработки в щелочной (а, в) и кислотной (б, г) средах.

[29]. Одновременно в высокоэнергетической части спектра (порядка 458.8 эВ) имеется плечо, которое может быть отнесено к оксиду и оксинитриду титана [30], доля которых составляет в сумме до 10%. В покрытиях после обработки в кислотной среде в энергетическом спектре Ti2p фотоэлектронов (рис. 96, 9г) имеется дублет пиков  $\text{Ti}2p_{1/2}$  и  $\text{Ti}2p_{3/2}$  (1, 1' и 2, 2'), отвечающих состоянию титана с энергиями связи 458.8 и 464.7 эВ, что соответствует оксиду титана  $\text{TiO}_2$  (2, 2'), а также с энергиями связи 454.7 и 461.1 эВ, соответ-

ствующими нитриду титана (1, 1'). Его доля не превышает 5%.

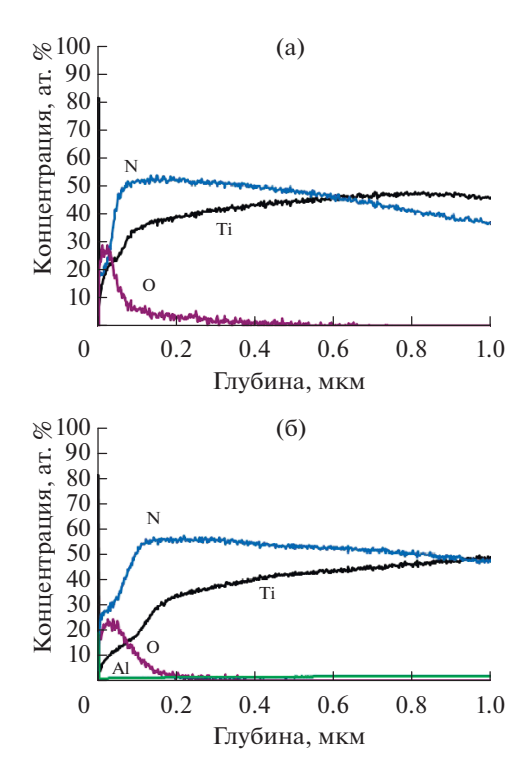
Исследование морфологии поверхности образцов покрытий TiN и  $Ti_{0.97}Al_{0.03}N$  (рис. 10a, 106) также свидетельствует об их разрушении в процессе электрохимических испытаний в кислотной среде, сопровождающемся появлением рыхлой структуры. В щелочной среде сохраняется плотная структура, характерная для исходного состояния покрытий (рис. 10a, 10r).



**Рис. 10.** Морфология поверхности покрытий TiN (а, в) и  $Ti_{0.97}Al_{0.03}N$  (б, г) после электрохимических испытаний в кислотной (а, б) и щелочной (в, г) средах.

Методом ВОЭСТР были получены концентрационные профили распределения элементов по толщине покрытий TiN и  $Ti_{0.97}Al_{0.03}N$  (рис. 11) после их окисления при температуре 550°C в течение 45 мин. Выбор данной температуры определяется тем, что она соответствует заметной скорости окисления покрытий из нитрида титана [31, 32]. Известно, что образование оксидной фазы при термообработке керамики  $TiN_x$  на воздухе контролируется объемной диффузией кислорода из газовой среды через первоначально образующийся слой рутила ТіО<sub>2</sub> [33]. Проникновение кислорода в покрытия TiN и  $Ti_{0.97}Al_{0.03}N$  происходит на глубины более 0.35 и 0.25 мкм соответственно. Об относительных количествах кислорода в окисленном материале обоих покрытий судили по площадям под соответствующими концентрационными кривыми, определенными методом Симпсона.

Относительное содержание кислорода в окисленном слое покрытия TiN выше на 5-7%. Полученные результаты свидетельствуют о незначительном улучшении жаростойкости покрытий  $Ti_{0.97}Al_{0.03}N$  в области температуры  $550^{\circ}C$ .



**Рис. 11.** Концентрационные профили распределения элементов в приповерхностном слое покрытий TiN (a) и  $Ti_{0.97}Al_{0.03}N$  (б).

#### ЗАКЛЮЧЕНИЕ

Морфологических изменений поверхности покрытий TiN и  $Ti_{0.97}Al_{0.03}N$  при нагреве в вакууме до 600 и 700°С соответственно не обнаружено. Происходящие структурные изменения в покрытиях обоих составов проявляются в росте размеров ОКР, уменьшении двухосных макронапряжений, периодов решетки, микродеформаций. Эти явления определяются активируемыми термически процессами восстановления структуры, обусловленного аннигиляцией дефектов, возникающих при формировании покрытий. В покрытии  $Ti_{0.97}Al_{0.03}N$  релаксация напряжений происходит более интенсивно, что связано с большей плотностью дефектов.

При отжиге покрытия TiN происходит уменьшение твердости (H) и параметров  $H^3/E^2$  и H/E, определяющих сопротивление пластической и упругой деформациям. Данное явление объясняется процессом восстановления структуры с аннигиляцией возникших при осаждении покрытия дефектов и рекристаллизацией. Для покрытия  $Ti_{0.97}Al_{0.03}N$  значения H, как и параметров  $H^3/E^2$  и H/E, практически не изменяются по отношению к состоянию до отжига, что определяется дисперсионным упрочнением покрытий  $Ti_{0.97}Al_{0.03}N$  в результате спинодального распада.

Покрытия TiN и  $Ti_{0.97}Al_{0.03}N$  показывают однотипное поведение в процессе электрохимических испытаний. Они разрушаются в кислотной среде, в щелочной среде происходит их самопассивация. Покрытие  $Ti_{0.97}Al_{0.03}N$  характеризуется лучшей жаростойкостью при  $550^{\circ}C$ , что проявляется в меньшей толщине окисленного слоя.

## БЛАГОДАРНОСТЬ

Исследование выполнено за счет гранта Российского научного фонда № 19-19-00555, https://rscf.ru/project/19-19-00555/.

# СПИСОК ЛИТЕРАТУРЫ

- 1. *Schuster J.C.*, *Bauer J*. The Ternary System Titanium-Aluminum-Nitrogen // J. Solid State Chem. 1984. V. 53. № 2. P. 260–265. https://doi.org/10.1016/0022-4596(84)90100-2
- 2. Wahlstrom U., Hultman L, Sundgren J.-E., Adibi F., Petrov I., Greene J.E. Crystal Growth and Microstructure of Polycrystalline Ti<sub>1-x</sub>Al<sub>x</sub>N Alloy Films Deposited by Ultra-High-Vacuum Dual-Target Magnetron Sputtering // Thin Solid Films. 1993. V. 235. № 1–2. P. 62–70. https://doi.org/10.1016/0040-6090(93)90244-J
- 3. Tanaka Y., Gur T.M., Kelly M., Hagstrom S.B., Ikeda T., Wakihira K., Satoh H. Properties of  $(Ti_{1-x}Al_x)N$  Coatings for Cutting Tools Prepared by the Cathodic arc Ion Plating Method // J. Vac. Sci. Technol., A. 1992. V. 10.

- № 4. P. 1749—1756. https://doi.org/10.1116/1.577742
- 4. *Ikeda T., Satoh H.* Phase Formation and Characterization of Hard Coatings in the Ti–Al–N System Prepared by the Cathodic arc Ion Plating Method // Thin Solid Films. 1991. V. 195. № 1–2. P. 99–110.
- Hörling A., Hultman L., Odén M., Sjölén J., Karlsson L. Mechanical Properties and Machining Performance of Ti<sub>1-x</sub>Al<sub>x</sub>N-Coated Cutting Tools // Surf. Coat. Technol. 2005. V. 191. № 2-3. P. 384-392. https://doi.org/10.1016/j.surfcoat.2004.04.056
- 6. *Kutschej K., Mayrhofer P.H., Polcik P., Kathrein M., Tessadri R., Mitterer C.* Structure, Mechanical and Tribological Properties of Sputtered Ti<sub>1 x</sub>Al<sub>x</sub>N Coatings with 0.5 < x < 0.75 // Surf. Coat. Technol. 2005. V. 200. № 7. P. 2358–2365. https://doi.org/10.1016/j.surfcoat.2004.12.008
- 7. Wang D.-Y., Li Y.-W., Ho W.-Y. Deposition of High (Ti,Al)N Hard Coatings by Vacuum arc Evaporation Process // Surf. Coat. Technol. 1999. V. 114. № 2–3. P. 109–113.
  - https://doi.org/10.1016/S0257-8972(99)00020-1
- 8. Bressan J.D., Hesse R., Silva E.M., Jr. Abrasive Wear Behavior of High Speed Steel and Hard Metal Coated with TiAlN and TiCN // Wear. 2001. V. 250. № 1–12. P. 561–568.
  - https://doi.org/10.1016/S0043-1648(01)00638-X
- 9. Bouzakis K.-D., Michailidis N., Skordaris G., Bouzakis E., Biermann D., M'Saoubi R. Cutting with Coated Tools: Coating Technologies, Characterization Methods and Performance Optimization // CIRP Ann. 2012. V. 61. № 2. P. 703—723. https://doi.org/10.1016/j.cirp.2012.05.006
- 10. Sui X., Lin G., Qin X., Yu H., Zhou X., Wang K., Wang Q. Relationship of Microstructure, Mechanical Properties and Titanium Cutting Performance of TiAlN/TiAlSiN Composite Coated Tool // Ceram. Int. 2016. V. 42. № 6. P. 7524–7532. https://doi.org/10.1016/j.ceramint.2016.01.159
- Vereschaka A.A., Grigoriev S.N., Sitnikov N.N., Batako A.D. Delamination and Longitudinal Cracking in Multi-Layered Composite Nanostructured Coatings and Their Influence on Cutting Tool Life // Wear. 2017. V. 390–391. P. 209–219. https://doi.org/10.1016/j.wear.2017.07.021
- Beake B.D., Ning L., Gey Ch., Veldhuis S.C., Komarov A., Weaver A., Khanna M., Fox-Rabinovich G.S. Wear Performance of Different PVD Coatings during Hardwet Endmilling of H13 Tool Steel // Surf. Coat. Technol. 2015. V. 279. P. 118–125. https://doi.org/10.1016/j.surfcoat.2015.08.038
- 13. Анкин В.Н., Блинков И.В., Волхонский А.О., Соболев Н.А., Кратохвил Р.В., Фролов А.Е., Царева С.Г. Ионно-плазменные покрытия Ti—Al—N на режущем твердосплавном инструменте, работающем в условиях постоянных и знакопеременных нагрузок // Изв. вузов. Порошковая металлургия и функциональные покрытия. 2009. № 1. С. 44—52.
- Blinkov I.V., Belov D.S., Volkhonskiy A.O., Chernogor A.O., Sergevnin V.S. Hardening ion plasma coatings (Ti, Al<sub>x</sub>)N (x = 3 at. %) for Carbide Cutting Tools // J. Phys.: Conf. Ser. 2020. V. 1713. P. 012011. https://doi.org/10.1088/1742-6596/1713/1/012011

- 15. Блинков И.В., Волхонский А.О., Белов Д.С., Блинков В.И., Скрылёва Е.А., Швындина Н.В. Наноструктурирование и модифицирование свойств вакуумно-дуговых покрытий ТіN введением в их состав никеля // Неорган. материалы. 2015. Т. 51. № 2. С. 163—170.
- 16. *Вайнштейн Б.К.* Современная кристаллография (в четырех томах). Т. 1. Симметрия кристаллов. Методы структурной кристаллографии. М.: Наука, 1979. 384 с.
- 17. ISO/FDIS14577-1:2002 Металлические материалы инструментальное индентирование для определения твердости и механических свойств.
- 18. *Кирюханцев—Корнеев Ф.В.* Анализ элементного состава покрытий с использованием высокочастотной оптической эмиссионной спектроскопии тлеющего разряда // Физикохимия поверхности и защита материалов, 2012. Т. 48. № 5. С. 488–494.
- 19. *Xia Q., Xia H., Ruoff A.L.* Pressure Induced Rocksalt Phase of Aluminum Nitride: A Metastable Structure at Ambient Condition // J. Appl. Phys. 1993. V. 73. P. 8198. https://doi.org/10.1063/1.353435
- Horling A., Hultman L., Oden M., Sjolen J., Karlsson T. Thermal Stability of arc Evaporated Highaluminum-Content Ti<sub>1-x</sub>Al<sub>x</sub>N Thin Films // J. Vac. Sci. Technol. A. 2002. V. 20. P. 1815–1823. https://doi.org/10.1116/1.1503784
- 21. Mayrhofer P.H., Horling A., Karlsson L., Mitterer C., Hultman L. Self-Organized Nanostructures in the Ti–Al–N System // Appl. Phys. Lett. 2003. V. 83. № 10. P. 2049. https://doi.org/10.1063/1.1608464
- 22. Donohue L.A., Lewis D.B., Munz W.-D., Stack M.M., Lyon S.B., Wang H.-W., Rafaja D. The Influence of Low Concentrations of Chromium and Yttrium on the Oxidation Behaviour, Residual Stress and Corrosion Performance of TiAlN Hard Coatings on Steel Substrates // Vacuum. 1999. V. 55. № 2. P. 109—114. https://doi.org/10.1016/S0042-207X(99)00135-9
- 23. Suh C.-M., Hwang B.-W., Murakami R.-I. Behaviors of Residual Stress and Hightemperature Fatigue Life in Ceramic Coatings Produced by PVD // Mater. Sci. Eng. A. 2003. V. 343. № 1–2. P. 1–7. https://doi.org/10.1016/S0921-5093(02)00327-1
- 24. *Jaros M., Musil J., Haviar S.* Interrelationships among Macrostress, Microstructure and Mechanical Behavior of Sputtered Hard Ti(Al,V)N Films // Mater. Lett.

- 2019. V. 235. P. 92–96. https://doi.org/10.1016/j.matlet.2018.09.173
- 25. *Thornton J.A.*, *Hoffman D.W.* Stress-Related Effects in Thin Films // Thin Solid Films. 1989. V. 171. № 1. P. 5–31. https://doi.org/10.1016/0040-6090(89)90030-8
- 26. Kim J.H., Gu G., Kwon M.-H., Koo M., Kim E.-Y., Kim J.-K., Lee J.S., Suh D.-W. Microstructure and Tensile Properties of Chemically Heterogeneous Steel Consisting of Martensite and Austenite // Acta Mater. 2022. V. 223. P. 117506. https://doi.org/10.1016/j.actamat.2021.117506
- 27. Leyland A., Matthews A. On the Signification of the H/E Ratio in Wear Control: a Nanocomposite Coatings Approach to Optimized Tribological Behaviour // Wear. 2000. V. 246. № 1–2. P. 1–11. https://doi.org/10.1016/S0043-1648(00)00488-9
- Mannling H.-D., Patil D.S., Moto K., Jilek M., Veprek S. Thermal Stability of Superhard Nanocomposite Coatings Consisting of Immiscible Nitrides // Surf. Coat. Technol. 2001. V. 146–147. P. 263–267. https://doi.org/10.1016/S0257-8972(01)01474-8
- Bertoti I. Characterization of Nitride Coatings by XPS // Surf. Coat. Technol. 2002. V. 151–152. P. 194–203. https://doi.org/10.1016/S0257-8972(01)01619-X
- Burke A.R., Brown C.R., Bowling W.C., Glaub J.E., Kapsch D., Love C.M., Whitaker R.B., Moddeman W.E. Ignition Mechanism of the Titanium—Boron Pyrotechnic Mixture // Surf. Interface Anal. 1988. V. 11. P. 353–358. https://doi.org/10.1002/sia.740110614
- Munz W.-D. Titanium Aluminum Nitride Films: A New Alternative to TiN Coatings // J. Vac. Sci. Technol. A. 1986. V. 4. P. 2717–2725. https://doi.org/10.1116/1.573713
- 32. Chen L., Paulitsch J., Du Y., Mayrhofer P.H. Thermal Stability and Oxidation Resistance of Ti–Al–N Coatings // Surf. Coat. Technol. 2012. V. 206. P. 2954–2960. https://doi.org/10.1016/j.surfcoat.2011.12.028
- 33. Ковалёв И.А., Огарков А.И, Шокодько А.В., Шевцов С.В., Коновалов А.А., Канныкин С.В., Ашмарин А.А., Кочанов Г.П., Чернявский А.С., Солнцев К.А. Структурные и фазовые превращения в компактной керамике на основе нитрида титана в прцессе высокотемпературного нагрева в газовых средах // Неорган. материалы. 2019. Т. 55. № 8. С. 903—907.